

I. まえがき

先に 著者は、鉄筋コンクリート桁の弾塑性曲げおよび破壊に関する解析理論¹⁾を提示したが、本論文では、さらに同理論を応用拡張して、点集中荷重を受ける単純はり²⁾の曲げおよびせん断破壊³⁾について考察したものである。

II. 理論

本法の主な仮定を挙げると次のとおりである。

- i) コンクリートおよび鉄筋の応力-ひずみ曲線を図-1(a)および(b)のように理想化する。
- ii) コンクリートの亀裂は、引張ひずみ ϵ_A で生じる。
- iii) 亀裂が発生する以前のひずみ分布は、平面保持の法則に従うが、発生後は、図-2のよう⁴⁾に、くさびの変形が添加されて平面保持の法則は成立しなくなる。

以上の仮定に基づいて、図-3の鉄筋コンクリート桁を対象に内力と外力のつり合い式を求めれば、次式がえられる。

$$\begin{bmatrix} 0 & 1 \\ 1 & -d/h \end{bmatrix} \begin{bmatrix} M \\ N \end{bmatrix} = \begin{bmatrix} \int_0^h \sigma_c dA + \sum \sigma_s A_s \\ - \int_0^h \sigma_c y dA - \sum \sigma_s y_s A_s \end{bmatrix} \quad \text{--- (1)}$$

ただし、 M, N : モメントおよび軸力、 σ_c, σ_s : コンクリートおよび鉄筋の応力、 d, h : 図心の深さ、 h : 桁高、 y_s : 鉄筋の位置、 A : 面積。

断面の深さ y_k での応力 σ_{jk} ($j = s \text{ or } c$) は、文献(1)から

$$\sigma_{jk} = \nu_{jk} (E_{jk} - E_{jk}^*) \quad k = 1, 2, \dots, n+1 \quad \text{--- (2)}$$

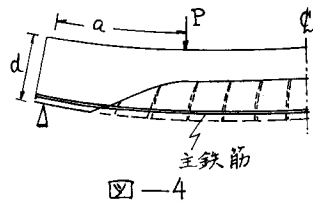
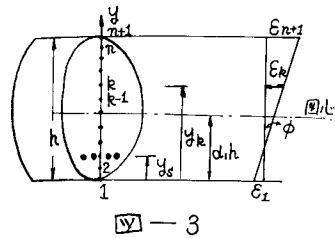
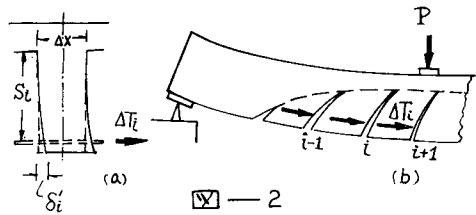
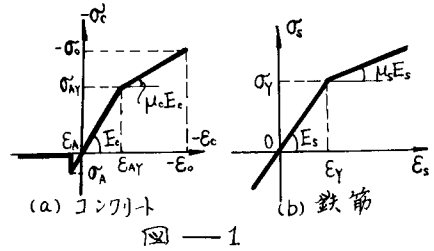
$$\nu_{jk} = (1 - y_k/h) E_{j2} + (y_k/h) E_{jn+1} \quad \text{--- (3)}$$

$$\nu_{jk} \text{ の曲率 } \phi \text{ は、 } \phi = (e_{c1} - e_{cn+1})/h \quad \text{--- (4)}$$

式(1)に、式(2)(3)を代入して e_{c1}, e_{cn+1} で解き、その結果を式(4)に代入すれば、結局 ϕ は、次のような M と N の1次関数形で表わすことができる。 $\phi = \eta M + \xi N + \zeta$, η, ξ, ζ : 断面形と応力状態において定数量。 --- (5)

さて、単純はりでは、一般に荷重の増加に伴って曲げ亀裂が発生増大し、桁自身は、漸次図-2(b)のようなくさびに移行する⁵⁾。このとき、くさび部は、鉄筋張力差 ΔT を受けて曲げ変形を生じ、その結果同断面のひずみ ϵ_{sc} には、くさび部のたわみの影響量 ϵ_{sc}^0 が付加される。例えは、才潘目の下部鉄筋の位置における値は、

$$\epsilon_{sc}^0 = \frac{d_i}{d} = \left(\frac{\Delta T_i S_{ci}^3}{3 E_c I_{ci}} - \frac{d_i S_{ci}^3}{3 E_c I_{ci}} \right) \cdot \frac{1}{\Delta X} \quad \text{--- (6)}$$



l : S_e は有効亀裂長 (鉄筋からの亀裂深さ),
 $\Delta T_i = T_{i+1} - T_i$, T_i は i 番目の鉄筋張力,
 I_i は i 番目の断面の二次モーメント.

この場合、面の固定端部には引張応力が発生する。
 したがって最終的には、この端部に曲げ亀裂が入り、桁は
 図-4に示すような一種のタイトア-4構造に移行後崩壊
 する(せん断ア-4比 $a/d \geq 2.5$ の場合)。

この判定条件を、本法では $\sigma_i = (\Delta T_i \times \Delta X) / 2 I_i \leq \sigma_n$ とした。

III. 解法

図-5に示す鉄筋コンクリート単純はりりの解析を補
 正エネルギー法により行なう。すなわち

曲げモーメントは

$$M = (P + \frac{1}{2} \bar{P}) X, \quad (A \sim C)$$

$$M = P a + \frac{1}{2} \bar{P} X, \quad (C \sim D)$$

T と与えられ、このとき与えられる補正エネルギーは、 $U = \int \phi dM dx$
 となるから、中央点 D のたわみ δ_0 を求めたい場合³⁾は、

$$\delta_0 = (\partial U / \partial P)_{P=0} = \int \phi \frac{\partial M}{\partial P} dx = 2 \int_0^a \phi \left(\frac{x}{2}\right) dx$$

他の変形量も同様にして算定できる。

IV 計算例

1) 図-6に示す矩形断面単純はりりについて応力解析を
 行なった。その諸量は、桁有効高さ $d = 27 \text{ cm}$, $l = 300 \text{ cm}$,

コンクリートの破壊強度 $\sigma_c = 250 \text{ kg/cm}^2$, $\sigma_n = 0.150 \sigma_c$, $\epsilon_0 = 1.419 \times 10^{-3}$, $\mu_c = 0.5$

$E_c = 2.674 \times 10^5 \text{ kg/cm}^2$, $E_s = 2.1 \times 10^6 \text{ kg/cm}^2$, $A_s/A_c = 0.0188$, $y_s = 3 \text{ cm}$

$E_A = 0.1 \cdot \epsilon_0$, $E_{A1} = 0.5 \epsilon_0$, $\sigma_{A1} = 0.75 \sigma_c$, $\sigma_{A2} = 3571 \text{ kg/cm}^2$ である。

解析結果の一部を図-7、図-8に示し、さらに Kani
 の実験結果²⁾との比較を図-9に示す。これより、本法
 は、実験値とよく合致することが確認できる。

2) 図-10に示すT形断面のせん断破壊 ($a/d =$
 2.8 , $A_s/A_c = 0.017$, $\sigma_c = 253 \text{ kg/cm}^2$, $\epsilon_0 = 1.419 \times 10^{-3}$ 、その他の諸量は1)と
 同1)について解析を行なう。断面形状のせん断応力強度に
 及ぼす影響について考察を加えた。結果は次のようになる。

- 1) 矩形断面: 破壊荷重 $R_R = 3082 \text{ kg}$, せん断応力強度 $\tau_{ca} = P_R / bd = 7.610 \text{ kg/cm}^2$
- 2) T-1断面: " = 1645 kg , " = 7.614 kg/cm^2
- 3) T-2断面: " = 1650.5 kg , " = 7.641 kg/cm^2

以上から、断面形状の平均せん断応力強度に及ぼす影響は、小さいことが理論的に確認できる。

(文献) 1) 山崎, 太田: Proc. of the Symposium on Ultimate Strength of Structures and Their Components, 16th N.S. on B.S.E., September, 1977.

2) G.N. Kani: Jour. of the A.C.I., April, 1964. 3) 太田, 藤原: Proc. of the 14th J.C. on Materials Research, 1971.

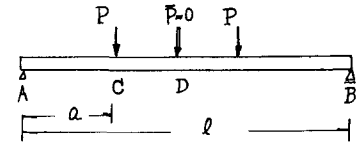


図-5

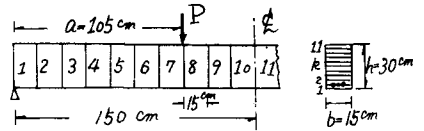


図-6

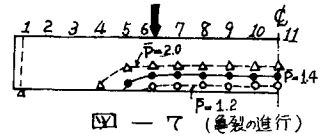


図-7 (亀裂の進行)

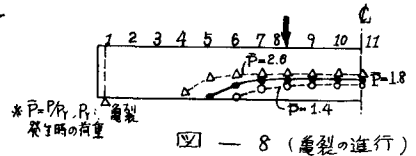


図-8 (亀裂の進行)

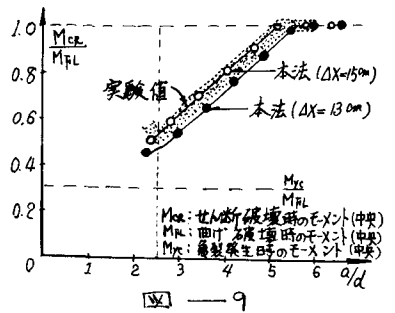


図-9

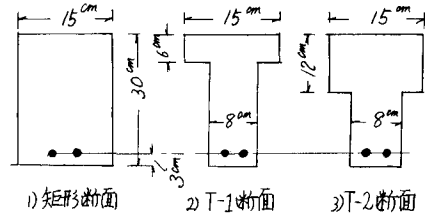


図-10